

## Diamantgitter

Darstellbar als 2 ineinander geschichtete fcc-Gitter,  
die entlang der Raumdiagonalen verschoben sind

Ursprung  $(0, 0, 0)$  bzw.  $(\frac{1}{4}, \frac{1}{4}, \frac{1}{4})$

Koordinationszahl 4

Bsp: Diamant, Si, Ge,  $\alpha$ -Zn

## Zinkblende-Struktur

entsteht aus Diamantgitter, wenn die beiden  
fcc-"Untergitter" mit verschiedenen Atomsorten  
besetzt.

Bsp: III-V z.B. GaAs, GaP, InSb  
(für Laser)

II-VI z.B. ZnS (existiert auch in hexagonaler  
Struktur)

## NaCl-Struktur

zwei ineinander geschichtete fcc Gitter

eins mit  $\text{Na}^+$ , eins mit  $\text{Cl}^-$

Ursprung  $(0, 0, 0)$  und  $(\frac{1}{2}, \frac{1}{2}, \frac{1}{2})$

Einheitszelle enthält 4  $\text{Na}^+$  und 4  $\text{Cl}^-$  Ionen.

Koordinationszahl 6

## Cs-Cl Struktur

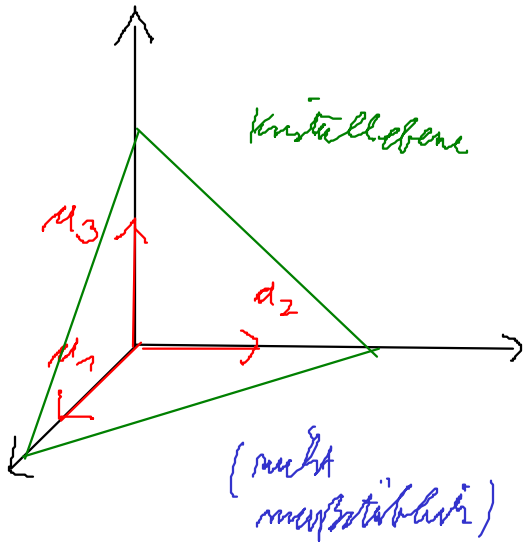
kann man sich vorstellen als bcc-Gitter,  
bei dem die Raumszentrierte Position mit  
einer anderen Ionensorte besetzt ist.

ergänzlich: einfach-kubische Gitter mit  $\text{Cs}^+$  und  
 $\text{Cl}^-$

Koordinationszahl 8

## 2.6 Indizierung von Kristallebenen und Richtungen

### Kristallebenen („Netzebenen“)



Kristallebenen sind eindeutig festgelegt durch die 3 Durchstoßpunkte der Gitterachsen in Einheiten der fundamentalen Gittervektoren  $a_i$

in diesem Bsp

$$2 \vec{a}_1, 2 \vec{a}_2, 3 \vec{a}_3$$

### Millersche Indizes

1. suche Schnittpunkte der Kristallachsen in Einheiten  
(hier 2, 2, 3)
2. bilde Kehrwert und suche kleinste ganze Zahlen im gleichen Verhältnis wie Kehrwerte

$$\text{also hier } \frac{1}{2}, \frac{1}{2}, \frac{1}{3} \Rightarrow 3, 3, 2$$

Die so gewonnenen Zahlen heißen Millersche Indizes  $hkl$

$\{hkl\}$  bezeichnet die ganze Schaar paralleler Netzebenen.

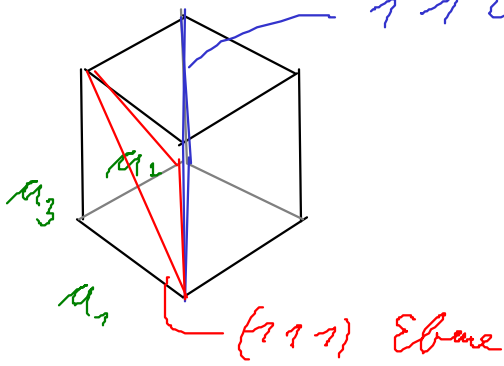
Jeder Punkt des Gitters liegt auf einer Ebene der  $\{hkl\}$  Schaar

Für Ebenen parallel zu einem fund. Gittervektor

der orthogonale Miller Index = 0

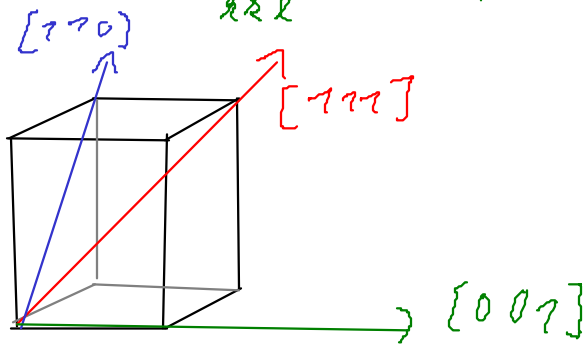
statt  $(-1\ 0\ 0)$  schreibt man  $(\bar{1}\ 0\ 0)$

Beip  $110$  Ebene



Kristallrichtungen: Die  $[hkl]$  Richtung ist die Richtung des Gittervektors

$$\vec{R}_{hkl} = h\vec{a}_1 + k\vec{a}_2 + l\vec{a}_3$$



Für kubische Gitter gilt: Die  $[hkl]$  Richtung steht senkrecht zur Ebenenschar  $(hkl)$  mit gleichem Index  
Im allgemeinen (nicht-kubisch) gilt das nicht.

## 2.7 (Ausblick) Komplexe Kristallstrukturen

Anorganische "Clusterverbindungen"

Ein Kristalle mit großer Elementarzelle  
(mehrere 100-1000 Atome in Basis)

Proteinkristalle

Zur Bestimmung von Molekülstruktur von Proteinen ist die Kristallisation notwendig.

## Quasikristalle

5-zählige Translationssymmetrie ist nicht möglich,  
aber eine quasi-periodische Anordnung ist möglich  
(Theorie Penrose, exp. Shechtman 1984)  
Komplizierte intermetallische Verbindungen

## 3 Beugung und reziprokes Gitter

---

Beugung an einer periodischen Struktur  
optisches Gitter, dort meist Gitterkonst. gegeben  
und  $\lambda$  zu bestimmen.

Bei Kristall: periodische Anordnung von Atomen,  
Atom als Streuzentren.

z.B.  $\lambda$  gegeben, Gitterkonst. gesucht

Es muss gelten:  $\lambda \leq$  Gitterkonst.

Daher verwendet man Röntgen- oder Materiewellen

z.B. Elektronen, Neutronen, Atome, ...

### 3-1 Allgemeines zur Beugung

---

Voraussetzungen: 1. Einfallstrahlung  
einfallende Welle trifft streuende Materie  
Zur Ermittlung von Kugelwellen an.  
Diese werden nicht weiter gestreut.

2. Strahlungsquelle A und Detektor B  
soll so weit von Streuzentren  
entfernt sein, dass man ebene Wellen  
annehmen kann.

3. Jeder Punkt der streuenden Materie emittiert Kugelwellen  
"Streudichte"  $\rho(\vec{r})$  i. a. komplex  
Amplitude und Phase der Streuwelle wird beobachtet

durch  $\rho(\vec{r}) \cdot (PO \neq)$

gesamte Streuamplitude am Ort B

$$A_B \sim e^{-i\omega_0 t} \int \rho(\vec{r}) e^{+i(\vec{k}_0 - \vec{k}) \cdot \vec{r}} dV$$

$\vec{k} - \vec{k}_0$  Streuvektor

Bem. 1) wir setzen Streuung von einem starren Gitter

voraus  $\Rightarrow \rho(\vec{r})$  zeitunabhängig

Zeitabhängigkeit von  $A_B$  nur über Phasenfaktor

mit feste Frequenz

Energieerhaltung  $\Rightarrow$  elast. Streuung

Wenn  $\rho(\vec{r}, t)$  Streuwellen mit  $\omega \neq \omega_0$

inelastische Streuung

$\Rightarrow$  Gitterdynamik (Kap 4)

2. Im experiment wird i. a. nicht

die Amplitude, sondern die Intensität

beobachtet.

$$\Rightarrow I(K) \sim |A_B|^2 \sim \left| \int \rho(\vec{r}) e^{-i\vec{k} \cdot \vec{r}} dV \right|^2$$

$\Rightarrow A_B$  ist Fourier Transform der Streuchichte

Die Phaseninformation geht verloren, da

man  $|A_B|^2$  gemessen wird.

$\Rightarrow$  Phasenproblem

$\Rightarrow$  Vielfachstreuung